

# 凹凸棒石/g-C<sub>3</sub>N<sub>4</sub>-AgFeO<sub>2</sub>复合材料制备及其光催化性能

谢登裕 蒋亿 纪媛媛 殷明慧 盛振环

赵伟 殷竟洲 李乔琦 仲慧 张莉莉\*

(淮阴师范学院化学化工学院,江苏省低维材料化学重点实验,  
江苏省环境功能材料工程实验室,淮安 223300)

**摘要:**以凹凸棒石(简称凹土,ATP)为基体,通过原位化学法一步直接合成g-C<sub>3</sub>N<sub>4</sub>薄层材料,并将其有效固载于凹土表面(ATP/g-C<sub>3</sub>N<sub>4</sub>),再通过原位沉淀法引入不同比例AgFeO<sub>2</sub>纳米颗粒,构筑系列兼具磁分离特性和高效光催化活性的ATP/g-C<sub>3</sub>N<sub>4</sub>-AgFeO<sub>2</sub>-Y复合光催化剂( $Y=w_{\text{ATP/g-C}_3\text{N}_4}/(w_{\text{ATP/g-C}_3\text{N}_4}+w_{\text{AgFeO}_2}) \times 100\%$ ,表示ATP/g-C<sub>3</sub>N<sub>4</sub>在ATP/g-C<sub>3</sub>N<sub>4</sub>-AgFeO<sub>2</sub>复合材料中所占的质量百分数)。采用XRD、SEM、BET、UV-Vis、PL和ICP表征其结构和物化性能,以酸性红G(ARG)为目标降解物,研究其光催化性能。研究发现:通过形成Si-O-C键,g-C<sub>3</sub>N<sub>4</sub>薄层被均匀固定在凹土表面;AgFeO<sub>2</sub>纳米颗粒均匀沉积于ATP/g-C<sub>3</sub>N<sub>4</sub>表面并形成Z型异质结,ATP/g-C<sub>3</sub>N<sub>4</sub>-AgFeO<sub>2</sub>-Y具有比ATP/g-C<sub>3</sub>N<sub>4</sub>和AgFeO<sub>2</sub>更优异的可见光光催化性能,且随着ATP/g-C<sub>3</sub>N<sub>4</sub>含量的增大呈先升高而后下降的趋势;当Y=57%时复合材料的性能最佳,ATP/g-C<sub>3</sub>N<sub>4</sub>-AgFeO<sub>2</sub>-57%对20 mg·L<sup>-1</sup>酸性红G的降解率可达97.4%,循环4次使用后,降解率仍保持94.2%。通过自由基捕获实验研究了光催化反应机理,发现·O<sub>2</sub><sup>-</sup>是光催化过程的主要活性物种。

**关键词:**物理化学;无机非金属材料;可见光催化;凹凸棒石;类石墨相氮化碳;铁酸银

**中图分类号:** O644.1      **文献标识码:** A      **文章编号:** 1001-4861(2019)02-0236-09

**DOI:** 10.11862/CJIC.2019.040

## Synthesis and Photocatalytic Performance of Attapulgite/g-C<sub>3</sub>N<sub>4</sub>-AgFeO<sub>2</sub> Composites

XIE Deng-Yu JIANG Yi JI Yuan-Yuan YING Ming-Hui SHENG Zhen-Huan

ZHAO Wei YIN Jing-Zhou LI Qiao-Qi ZHONG Hui ZHANG Li-Li\*

(Jiangsu Key Laboratory for Low-Dimension Materials, Jiangsu Environmental Engineering Laboratory for Environmental Functional Materials, School of Chemistry and Chemical Engineering, Huaiyin Normal University, Huaiyan, Jiangsu 223300, China)

**Abstract:** Attapulgite (ATP) was chosen as the matrix of g-C<sub>3</sub>N<sub>4</sub> thin layer and AgFeO<sub>2</sub> nanoparticles to fabricate a series of ATP/g-C<sub>3</sub>N<sub>4</sub>-AgFeO<sub>2</sub>-Y composites presenting both magnetic separation and high photocatalytic activity by *in-situ* chemical method, where Y stands for the mass percentage of ATP/g-C<sub>3</sub>N<sub>4</sub> in the composite ( $Y=w_{\text{ATP/g-C}_3\text{N}_4}/(w_{\text{ATP/g-C}_3\text{N}_4}+w_{\text{AgFeO}_2}) \times 100\%$ ). XRD, SEM, BET, UV-Vis, PL and ICP were used to characterize the structure and physicochemical properties of the products. Photodegradation of acid red G (ARG) was chosen as target to investigate the photocatalytic property of all the products. It was found that g-C<sub>3</sub>N<sub>4</sub> thin layer was uniformly fixed on the surface of the ATP by forming a Si-O-C bond, while the AgFeO<sub>2</sub> nanoparticles were deposited on the surface of ATP/g-C<sub>3</sub>N<sub>4</sub> uniformly to form a type Z heterojunction structure. ATP/g-C<sub>3</sub>N<sub>4</sub>-AgFeO<sub>2</sub>-Y presented higher visible light photocatalytic performance than that of ATP/g-C<sub>3</sub>N<sub>4</sub> and AgFeO<sub>2</sub>. The photocatalytic activity of ATP/g-C<sub>3</sub>N<sub>4</sub>-AgFeO<sub>2</sub>-Y changed with the content of ATP/g-C<sub>3</sub>N<sub>4</sub>, and when Y=57%, ATP/g-C<sub>3</sub>N<sub>4</sub>-AgFeO<sub>2</sub>-57% shows the best photocatalytic activity. The degradation rate of 20 mg·L<sup>-1</sup> acid red G was up to 97.4%, and it remained at 94.2%

收稿日期:2018-08-18。收修改稿日期:2018-12-17。

国家自然科学基金(No.51472101)、江苏省自然科学基金(No.BK20161305)、江苏省六大人才高峰(No.JY-31)和江苏省高校大学生创新计划(No.201710323004Z)资助项目。

\*通信联系人。E-mail:zll@hytc.edu.cn

after 4 cycles when catalyzed by ATP/g-C<sub>3</sub>N<sub>4</sub>-AgFeO<sub>2</sub>-57%. The photocatalytic mechanism was studied by free radical trapping experiments. It was found that ·O<sub>2</sub><sup>-</sup> is the main active species in the photocatalytic process.

**Keywords:** physical chemistry; inorganic nonmetallic materials; visible light photocatalysis; attapulgite; g-C<sub>3</sub>N<sub>4</sub>; AgFeO<sub>2</sub>

## 0 引言

太阳能作为一种清洁能源,资源丰富,可以长久利用,但其存在分散性强、利用率低、不易存储等缺点<sup>[1]</sup>。而光催化技术可以直接利用太阳能,通过光催化剂将有机污染物降解为CO<sub>2</sub>、H<sub>2</sub>O以及矿物酸或盐等物质,效率高、能耗低且无二次污染。

目前,用于光催化技术的主要光催化剂为无机半导体材料,如金属硫化物、氧化物及其复合物等<sup>[2]</sup>。近年来,一种新型的全无机半导体聚合物类石墨相氮化碳(g-C<sub>3</sub>N<sub>4</sub>),因仅含有C和N两种元素,且能带结构较窄、电子结构可调、无毒无害、成本低廉受到了广泛的关注<sup>[3-5]</sup>。但是,采用简单煅烧方法制备的g-C<sub>3</sub>N<sub>4</sub>比表面积小,表面活性位点少,太阳光利用效率低。因此,需要对其进行改性以增强其光催化性能,常用的改性手段主要有贵金属(Pt, Ag, Au等)沉积<sup>[6-7]</sup>,非金属(P, B, S, O等)掺杂<sup>[8-9]</sup>、半导体耦合<sup>[10-12]</sup>、有机物共聚以及形貌调控等。

二维材料特别是超薄二维材料,具有比零维和一维材料更高的比表面积、更多的表面活性位点、更有益的电子迁移率、更大的电子转移平台等优点,且能体现出高效的光学、电学及催化性能<sup>[13]</sup>。因此,将g-C<sub>3</sub>N<sub>4</sub>剥离为纳米片更有利于其性能的发挥,但其存在二次聚集的趋势。如果采用化学的方法一步直接合成二维g-C<sub>3</sub>N<sub>4</sub>薄层材料,并将其有效固定在具有较高比表面积的载体上,将有效抑制其再次聚集,降低合成成本。

凹凸棒石(Attapulgite 缩写为 ATP,简称凹土)是江苏淮安地区的特色资源,它是一种层链状晶体结构的硅酸盐矿物,具有独特的纤维状晶体结构和发达的内外比表面积,是一种天然的一维纳米材料。较之碳材料等其它常用载体材料,凹凸棒石具有价廉、稳定、透光性好、吸附性能强,无需表面预处理等优点<sup>[14-15]</sup>。虽然其本身不具有光催化特性,但其表面富含羟基和明显的负电性,容易与氨基等极性基团发生反应,成为其接枝、改性等重要活性位点,是性能优异的载体材料。因此,为了抑制g-C<sub>3</sub>N<sub>4</sub>纳米

薄层材料二次聚集,降低其应用成本,同时提高凹凸棒石的高值化应用,本文选用凹凸棒石作为g-C<sub>3</sub>N<sub>4</sub>薄层的载体。

此外,大量的改性研究表明<sup>[10-12,16-18]</sup>,仅通过掺杂、共聚、形貌控制等无法解决g-C<sub>3</sub>N<sub>4</sub>自身电子-空穴复合率高的问题,通过与1种或1种以上半导体复合,构建半导体异质复合结构,特别是Z型异质结,能有效阻止光电子与空穴的复合,同时极大地拓宽半导体材料的光学吸收性能,这是设计高效光催化剂的有效途径<sup>[16]</sup>。g-C<sub>3</sub>N<sub>4</sub>可与多种半导体材料组成Ⅱ型半导体异质结构<sup>[17]</sup>。其中,尖晶石铁氧体AgFeO<sub>2</sub>兼具光催化活性和磁分离特性,可以与g-C<sub>3</sub>N<sub>4</sub>形成Z型异质结<sup>[18]</sup>,既能提高其光催化活性,同时解决上述薄层材料的分离、回收问题。

酸性红G(ARG)是一种偶氮型染料,其废水色度高、化学需氧量(COD)值高、可生化性差,使用传统方法难以将其彻底降解。光催化氧化技术因其反应条件温和、反应速率快逐渐成为该领域的研究热点。用于此类降解反应的催化剂主要为水滑石类、金属氧化物或复合氧化物,如Zn-Cr水滑石<sup>[19-20]</sup>、Fe<sub>2</sub>O<sub>3</sub><sup>[21]</sup>、TiO<sub>2</sub><sup>[22]</sup>等,此类材料虽然具有较高的光降解特性,但其合成成本高、难回收。基于此,本文以地方特色资源凹土为基体,先通过原位化学法一步直接合成二维g-C<sub>3</sub>N<sub>4</sub>薄层材料并将其牢固负载于凹土表面,再通过原位沉淀法将磁性铁氧体AgFeO<sub>2</sub>沉积在ATP/g-C<sub>3</sub>N<sub>4</sub>表面,获得兼具磁性和光催化活性的ATP/g-C<sub>3</sub>N<sub>4</sub>-AgFeO<sub>2</sub>高效可见光催化剂,并以ARG为目标降解物,研究其光催化降解性能,为新型催化剂的设计提供思路。

## 1 实验部分

### 1.1 光催化剂的制备及表征

先制备ATP/g-C<sub>3</sub>N<sub>4</sub>复合材料,其制备过程参照文献<sup>[23]</sup>;再通过原位沉淀法将不同比例的AgFeO<sub>2</sub>与其复合,制备系列ATP/g-C<sub>3</sub>N<sub>4</sub>-AgFeO<sub>2</sub>-Y复合催化剂。以ATP/g-C<sub>3</sub>N<sub>4</sub>-AgFeO<sub>2</sub>-57%为例介绍复合材料的合成过程:称取4 mmol的AgNO<sub>3</sub>和4 mmol的

$\text{Fe}(\text{NO}_3)_3 \cdot 9\text{H}_2\text{O}$ 加入到60 mL的蒸馏水中,磁力搅拌10 min使得溶液混合均匀;将1.2 g的NaOH添加到该溶液中,继续搅拌30 min,得悬浮液A;取1.044 g ATP/g-C<sub>3</sub>N<sub>4</sub>于60 mL去离子水中,先超声分散60 min后加入悬浮液A中,继续剧烈搅拌30 min;所得混合溶液经离心、洗涤后,在60 °C下烘干,即得ATP/g-C<sub>3</sub>N<sub>4</sub>-AgFeO<sub>2</sub>-57%复合材料。类似地,固定AgFeO<sub>2</sub>的含量,采用相同的方法合成不同ATP/g-C<sub>3</sub>N<sub>4</sub>含量的ATP/g-C<sub>3</sub>N<sub>4</sub>-AgFeO<sub>2</sub>-Y%复合材料( $Y = w_{\text{ATP/g-C}_3\text{N}_4} / (w_{\text{ATP/g-C}_3\text{N}_4} + w_{\text{AgFeO}_2}) \times 100\%$ )。

为了确定复合材料中元素的组成,采用等离子溅射光谱(美国PE公司Optima 2000DV ICP)进行测试。以ATP/g-C<sub>3</sub>N<sub>4</sub>-AgFeO<sub>2</sub>-57%为例:首先准确称取一定量的复合材料,用王水硝化溶解后配成溶液,然后用ICP分别测试Ag和Fe的浓度,通过相关换算,可以确定材料中AgFeO<sub>2</sub>的百分含量,进而倒推出ATP/g-C<sub>3</sub>N<sub>4</sub>的含量。

产品的物相分析在瑞士ARLXTRA型X射线粉末衍射仪分析,衍射条件为: $\text{Cu K}\alpha (\lambda=0.154\text{ 06 nm})$ ,测试电压为45 kV,电流为40 mA,扫描范围 $2\theta=5^\circ \sim 75^\circ$ ,扫描速度为 $7^\circ \cdot \text{min}^{-1}$ ;比表面测试(BET)采用Beckman Coulter公司生产的Coulter SA 3100型表面孔径吸附仪,以N<sub>2</sub>为吸附气体来测量材料的比表面积和吸附-脱附等温线,样品预先在200 °C脱气2 h;红外分析通过傅里叶变换红外光谱仪(Nicolet iS 50 FTIR)表征,以KBr为参比,测试范围4 500~400 cm<sup>-1</sup>;采用日本Shimadzu UV-3600型分光光度仪测试催化剂的吸光性能,以硫酸钡作为标准参比样品;样品的微观形貌在美国FEI场发射扫描电子显微镜进行表征,工作电压20 kV。

## 1.2 光催化性能测试

### 1.2.1 不同比例复合材料光催化性能测试

取0.2 g ATP/g-C<sub>3</sub>N<sub>4</sub>-AgFeO<sub>2</sub>-Y复合材料加入到盛有200 mL的20 mg·L<sup>-1</sup>的ARG溶液的石英试管中,通空气搅拌,先在无光照射的条件下暗吸附30 min;再利用500 W氘灯模拟可见光照射180 min,每隔20 min取样1次,进行离心分离,取上层清液测吸光度,比较不同复合材料的光催化性能。

### 1.2.2 自由基捕获实验

选取ATP/g-C<sub>3</sub>N<sub>4</sub>-AgFeO<sub>2</sub>-57%复合光催化剂做自由基捕获实验,仍以200 mL的20 mg·L<sup>-1</sup> ARG为降解对象。在加入0.2 g ATP/g-C<sub>3</sub>N<sub>4</sub>-AgFeO<sub>2</sub>-57%复合催化剂的同时,分别加入0.173 g苯醌、0.123

mL异丙醇和0.053 6 g Na<sub>2</sub>C<sub>2</sub>O<sub>4</sub>(其浓度分别为 $2.5 \times 10^{-5}$ 、 $5 \times 10^{-4}$ 和 $5 \times 10^{-4} \text{ mol} \cdot \text{L}^{-1}$ )作为捕获剂来测试反应体系中的活性物种超氧自由基( $\cdot\text{O}_2^-$ )、羟基自由基( $\cdot\text{OH}$ )和空穴( $\text{h}^+$ )对材料光催化活性的影响<sup>[20]</sup>。

## 2 结果与讨论

### 2.1 结构表征

图1给出了不同产物的XRD图,由图1(a)可见,凹土的衍射峰依次出现在 $2\theta=8.4^\circ$ 、 $19.6^\circ$ 、 $26.8^\circ$ 、 $35.1^\circ$ ,这些与文献报道一致<sup>[23]</sup>。g-C<sub>3</sub>N<sub>4</sub>的XRD图中衍射峰依次出现在 $2\theta=12.98^\circ$ 、 $27.56^\circ$ ,这和标准卡片中g-C<sub>3</sub>N<sub>4</sub>(PDF No.78-1747)结构一致,说明所制得的样品是g-C<sub>3</sub>N<sub>4</sub>且纯度比较高。AgFeO<sub>2</sub>的XRD图中衍射峰依次出现在 $2\theta=14.28^\circ$ 、 $28.79^\circ$ 、 $35.40^\circ$ 、 $39.31^\circ$ ,这和标准卡片中AgFeO<sub>2</sub>(PDF No.18-1175)结构一致<sup>[18]</sup>。从不同含量的ATP/g-C<sub>3</sub>N<sub>4</sub>-AgFeO<sub>2</sub>-Y光催化剂的XRD图可以看出,均出现了凹土、g-C<sub>3</sub>N<sub>4</sub>以及AgFeO<sub>2</sub>的衍射峰,这表明g-C<sub>3</sub>N<sub>4</sub>和AgFeO<sub>2</sub>成功负载在凹土表面,且改性过程中没有破坏凹土的特征结构。此外,如图1(b)所示,由于AgFeO<sub>2</sub>沉积量过多,图中最初主要表现为AgFeO<sub>2</sub>的衍射峰,但随着ATP/g-C<sub>3</sub>N<sub>4</sub>含量的增加,复合材料中的ATP和g-C<sub>3</sub>N<sub>4</sub>的衍射峰明显增强,直到ATP/g-C<sub>3</sub>N<sub>4</sub>含量为89%时,才出现凹土和g-C<sub>3</sub>N<sub>4</sub>的衍射峰。通过比较可以看出,图1(b)中凹土和g-C<sub>3</sub>N<sub>4</sub>衍射峰较弱,而且朝小角度方向偏移,这是由于复合材料中AgFeO<sub>2</sub>的沉积量较多而且在复合材料的最外层,部分掩盖了凹土和g-C<sub>3</sub>N<sub>4</sub>的衍射峰;g-C<sub>3</sub>N<sub>4</sub>朝小角度偏移,是由于其含量较低,而且g-C<sub>3</sub>N<sub>4</sub>负载于凹土表面之后,其颗粒尺寸变小所致。

图2给出了系列产品的FT-IR图谱,可以看出除了纯相g-C<sub>3</sub>N<sub>4</sub>外,其他曲线均在1 008 cm<sup>-1</sup>处出现了Si-O-Si的伸缩振动吸收峰,归属于凹土的本征结构。对比g-C<sub>3</sub>N<sub>4</sub>与ATP/g-C<sub>3</sub>N<sub>4</sub>系列复合材料,ATP/g-C<sub>3</sub>N<sub>4</sub>在1 632和1 238 cm<sup>-1</sup>处均出现了吸收峰,分别归属于碳氮环上的C=N双键和C-N单键的伸缩振动吸收峰,在798 cm<sup>-1</sup>处对应于三嗪单元C-N键的弯曲振吸收峰<sup>[23-25]</sup>,说明凹土表面g-C<sub>3</sub>N<sub>4</sub>的存在。此外,ATP/g-C<sub>3</sub>N<sub>4</sub>在2 194 cm<sup>-1</sup>处出现了1个新的归属于Si-O-C键的吸收峰,表明ATP与g-C<sub>3</sub>N<sub>4</sub>之间并不是简单的物理附着,而是有新的化学键的生成<sup>[23]</sup>。在ATP/g-C<sub>3</sub>N<sub>4</sub>-AgFeO<sub>2</sub>的红外谱图中(图2b所示),在583 cm<sup>-1</sup>处出现了AgFeO<sub>2</sub>的晶格振动的

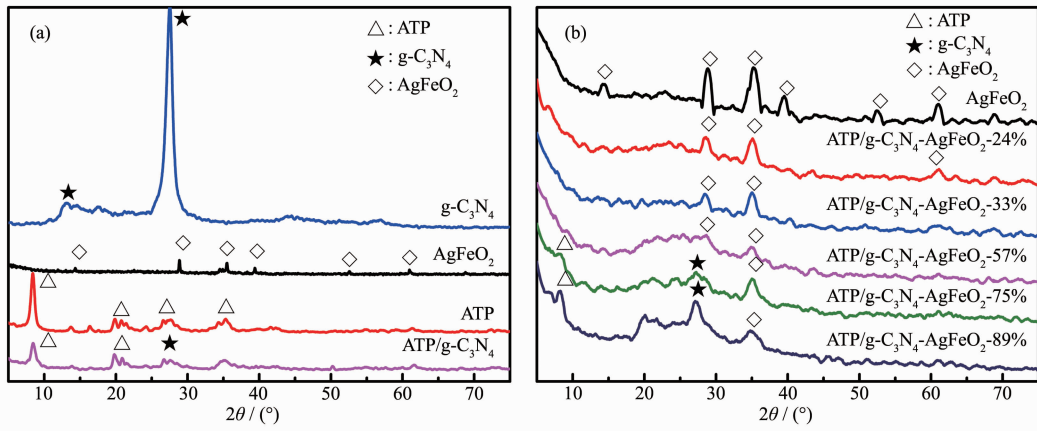


图 1 (a) g-C<sub>3</sub>N<sub>4</sub>, ATP, ATP/g-C<sub>3</sub>N<sub>4</sub>, AgFeO<sub>2</sub> 和(b)不同 ATP/g-C<sub>3</sub>N<sub>4</sub> 含量的 ATP/g-C<sub>3</sub>N<sub>4</sub>-AgFeO<sub>2</sub>-Y 光催化剂的 XRD 图

Fig.1 XRD patterns of (a) g-C<sub>3</sub>N<sub>4</sub>, ATP, ATP/g-C<sub>3</sub>N<sub>4</sub>, AgFeO<sub>2</sub> and (b) ATP/g-C<sub>3</sub>N<sub>4</sub>-AgFeO<sub>2</sub>-Y with different contents of ATP/g-C<sub>3</sub>N<sub>4</sub>

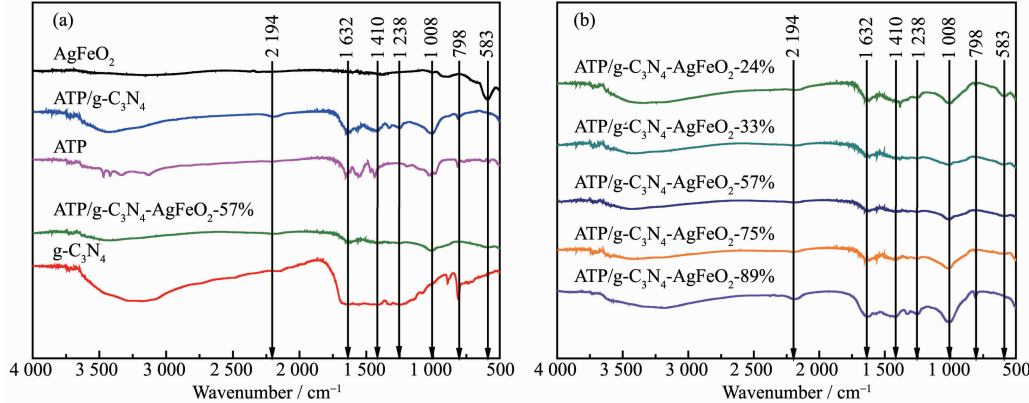


图 2 (a) g-C<sub>3</sub>N<sub>4</sub>, ATP, ATP/g-C<sub>3</sub>N<sub>4</sub>, AgFeO<sub>2</sub> 和(b) 不同 ATP/g-C<sub>3</sub>N<sub>4</sub> 含量的 ATP/g-C<sub>3</sub>N<sub>4</sub>-AgFeO<sub>2</sub>-Y 光催化剂的红外谱图

Fig.2 (a) FTIR spectra of g-C<sub>3</sub>N<sub>4</sub>, ATP, ATP/g-C<sub>3</sub>N<sub>4</sub>, AgFeO<sub>2</sub> and (b) ATP/g-C<sub>3</sub>N<sub>4</sub>-AgFeO<sub>2</sub>-Y with different contents of ATP/g-C<sub>3</sub>N<sub>4</sub>

吸收峰,且在800~1 650 cm<sup>-1</sup>这一波长范围内,g-C<sub>3</sub>N<sub>4</sub>特征峰的强度随着ATP/g-C<sub>3</sub>N<sub>4</sub>量的增加而增强,而且2 194 cm<sup>-1</sup>处吸收峰也逐渐增强。这些结果均说明,AgFeO<sub>2</sub>的引入并没有破坏ATP/g-C<sub>3</sub>N<sub>4</sub>的结构,两者能够共存。

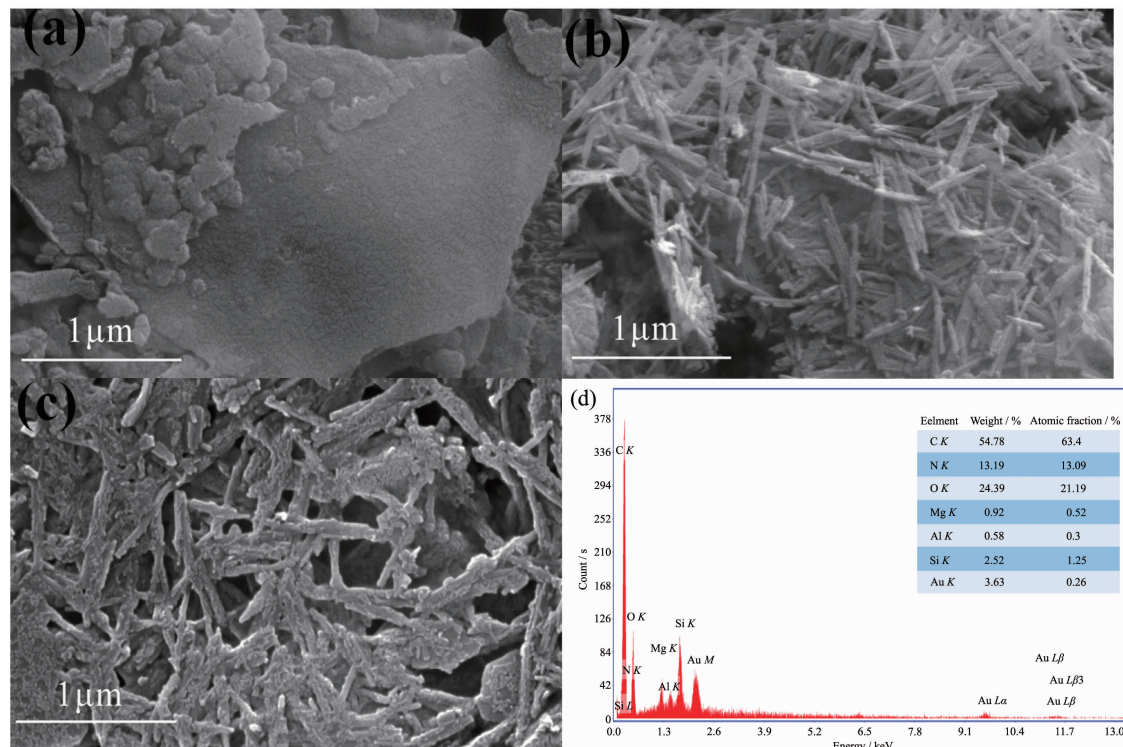
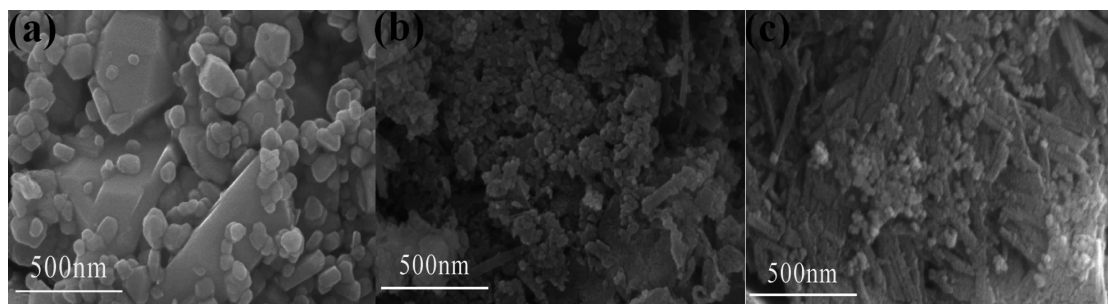
由图3(a)中可以看出,所制备的g-C<sub>3</sub>N<sub>4</sub>呈明显的层状结构,层与层之间堆积得很致密。从图3(b)可以看出,纯凹土为棒状纤维聚集而成的棒束,这是由于棒与棒之间存在强烈的相互作用<sup>[22]</sup>。如图3(c)所示,ATP/g-C<sub>3</sub>N<sub>4</sub>复合材料中凹土表面形成一层均匀的薄层包裹。从图3(d)中可以很清楚的看出ATP/g-C<sub>3</sub>N<sub>4</sub>复合催化剂是由C、N、O、Al、Mg和Si元素组成。结合FT-IR的结果分析,进一步证实了g-C<sub>3</sub>N<sub>4</sub>薄层成功负载于凹土表面。

采用ICP测试得ATP/g-C<sub>3</sub>N<sub>4</sub>-AgFeO<sub>2</sub>-57%中Ag和Fe的浓度分别为176.7和106.4 mg·L<sup>-1</sup>。通过相关换算可知,复合材料中AgFeO<sub>2</sub>的百分含量为41%,那么ATP/g-C<sub>3</sub>N<sub>4</sub>的含量接近59%,与表达式

计算结果相近。

图4(a)可看出纯的AgFeO<sub>2</sub>呈细小颗粒状,体积小,容易团聚。图4(b)可以看出纳米AgFeO<sub>2</sub>颗粒包覆在ATP/g-C<sub>3</sub>N<sub>4</sub>表面,但由于AgFeO<sub>2</sub>量过多,凹土的棒状结构被纳米AgFeO<sub>2</sub>颗粒掩盖。随着AgFeO<sub>2</sub>量的减少(图4(c)),纳米AgFeO<sub>2</sub>颗粒均匀地分散在ATP/g-C<sub>3</sub>N<sub>4</sub>表面,其直径大约在500 nm,且纳米AgFeO<sub>2</sub>颗粒分布均匀,没有明显的团聚现象,说明制备的纳米AgFeO<sub>2</sub>颗粒的分散性很高。这些结果进一步证实了AgFeO<sub>2</sub>成功沉积在ATP/g-C<sub>3</sub>N<sub>4</sub>薄层材料表面。

表1给出了不同样品的比表面积,从表中可以看出,ATP/g-C<sub>3</sub>N<sub>4</sub>(53 m<sup>2</sup>·g<sup>-1</sup>)的比表面积大于g-C<sub>3</sub>N<sub>4</sub>(9 m<sup>2</sup>·g<sup>-1</sup>),这是由于凹土本身具有较大的比表面积(191 m<sup>2</sup>·g<sup>-1</sup>),使得g-C<sub>3</sub>N<sub>4</sub>负载在其表面之后比表面积明显增大,这是影响光催化性能的一个重要因素。ATP/g-C<sub>3</sub>N<sub>4</sub>-AgFeO<sub>2</sub>-57%(60 m<sup>2</sup>·g<sup>-1</sup>)的比表面积略大于ATP/g-C<sub>3</sub>N<sub>4</sub>(53 m<sup>2</sup>·g<sup>-1</sup>)的比表面积,这可能是

图3 (a)  $\text{g-C}_3\text{N}_4$ , (b) ATP 和(c) ATP/ $\text{g-C}_3\text{N}_4$  的 SEM 图; (d) ATP/ $\text{g-C}_3\text{N}_4$  的 EDAX 图谱Fig.3 SEM images of (a)  $\text{g-C}_3\text{N}_4$ ; (b) ATP; (c) ATP/ $\text{g-C}_3\text{N}_4$  and (d) EDAX image of ATP/ $\text{g-C}_3\text{N}_4$ 图4 (a)  $\text{AgFeO}_2$ , (b) ATP/ $\text{g-C}_3\text{N}_4$ - $\text{AgFeO}_2$ -57% and (c) ATP/ $\text{g-C}_3\text{N}_4$ - $\text{AgFeO}_2$ -89% 的 SEM 图Fig.4 SEM images of (a)  $\text{AgFeO}_2$ , (b) ATP/ $\text{g-C}_3\text{N}_4$ - $\text{AgFeO}_2$ -57% and (c) ATP/ $\text{g-C}_3\text{N}_4$ - $\text{AgFeO}_2$ -89%表1 各样品比表面积  $S_{\text{BET}}$  和带隙宽度  $E_g$ Table 1 Specific surface area ( $S_{\text{BET}}$ ) and  $E_g$  of samples with different compositions

Sample	ATP	$\text{g-C}_3\text{N}_4$	ATP/ $\text{g-C}_3\text{N}_4$	$\text{AgFeO}_2$	ATP/ $\text{g-C}_3\text{N}_4$ - $\text{AgFeO}_2$ -57%
$S_{\text{BET}} / (\text{m}^2 \cdot \text{g}^{-1})$	191	9	53	5	60
$E_g / \text{eV}$	—	2.52 <sup>[23]</sup>	2.60 <sup>[23]</sup>	2.34	2.07

因为纳米  $\text{AgFeO}_2$  颗粒沉积在 ATP/ $\text{g-C}_3\text{N}_4$  表面, 形成二级孔结构, 造成 ATP/ $\text{g-C}_3\text{N}_4$ - $\text{AgFeO}_2$ -57% 的比表面积增加。

图5给出了系列产品的紫外漫反射及其带隙推測图, 可以看出  $\text{g-C}_3\text{N}_4$  吸收带边缘位于 450 nm, 处于紫外光区和可见光区边缘。ATP 与  $\text{g-C}_3\text{N}_4$  的复合之后,  $\text{g-C}_3\text{N}_4$  对光的吸收能力大大增强, 但吸收边略

朝紫外偏移。而  $\text{AgFeO}_2$  沉积在 ATP/ $\text{g-C}_3\text{N}_4$  表面后, ATP/ $\text{g-C}_3\text{N}_4$ - $\text{AgFeO}_2$ -57% 的吸收带边扩展至更深的可见光区(450~740 nm), 意味着 ATP/ $\text{g-C}_3\text{N}_4$ - $\text{AgFeO}_2$ -57% 本身对可见光的吸收能力逐渐加强, 更多的可见光可以被利用, 有利于光催化活性的提高。

根据文献<sup>[26]</sup>可估算催化剂的带隙宽度, 如表1所示,  $E_g(\text{ATP}/\text{g-C}_3\text{N}_4) > E_g(\text{g-C}_3\text{N}_4)$ , 这是因为凹土是惰

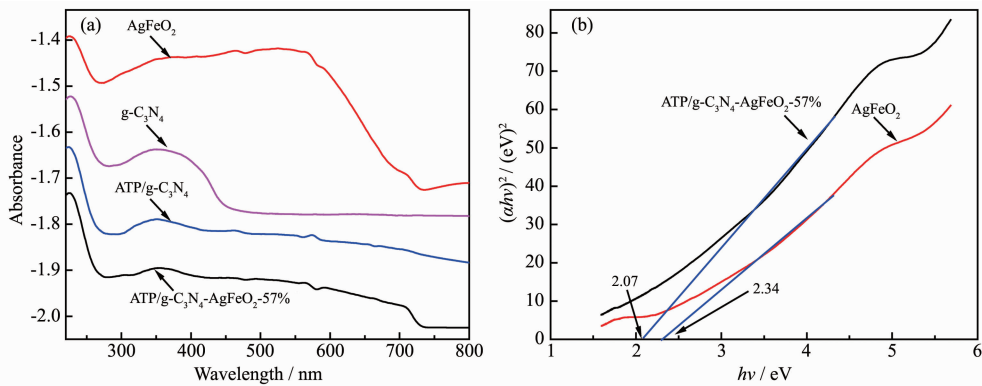


图 5 (a) 光催化剂的紫外-可见漫反射光谱; (b) 带隙计算图

Fig.5 (a) UV-Vis diffuse reflectance spectra of different samples; (b) Plots of  $(\alpha h\nu)^2$  versus  $h\nu$  of AgFeO<sub>2</sub> and ATP/g-C<sub>3</sub>N<sub>4</sub>-AgFeO<sub>2</sub>-57%

性材料对光没有吸收能力。而 ATP/g-C<sub>3</sub>N<sub>4</sub>-AgFeO<sub>2</sub>-57%(2.07 eV)的带隙宽度小于 ATP/g-C<sub>3</sub>N<sub>4</sub>(2.60 eV)和 g-C<sub>3</sub>N<sub>4</sub>(2.52 eV), 可能是因为 AgFeO<sub>2</sub> 纳米颗粒的沉积与 g-C<sub>3</sub>N<sub>4</sub> 形成了 Z型异质结, 这对其光催化性能的提高有重要的作用。

## 2.2 光催化性能的研究

以 20 mg·L<sup>-1</sup> ARG 为目标降解物, 考察了系列

材料的光催化活性。在光照之前, 先在暗处吸附 30 min, 以使催化剂和 ARG 表面吸附达到平衡。其中,  $C_0'$  为暗吸附前 ARG 的初始浓度,  $C_0$  为暗吸附后 ARG 的初始浓度,  $C$  为对应降解时间的 ARG 的浓度。从图 6(a, b)中可以看出, ATP、g-C<sub>3</sub>N<sub>4</sub> 对 ARG 几乎没有吸附能力, AgFeO<sub>2</sub> 的吸附能力较弱, 这与其比表面积小以及表面电荷有关, 但是两组分复合及

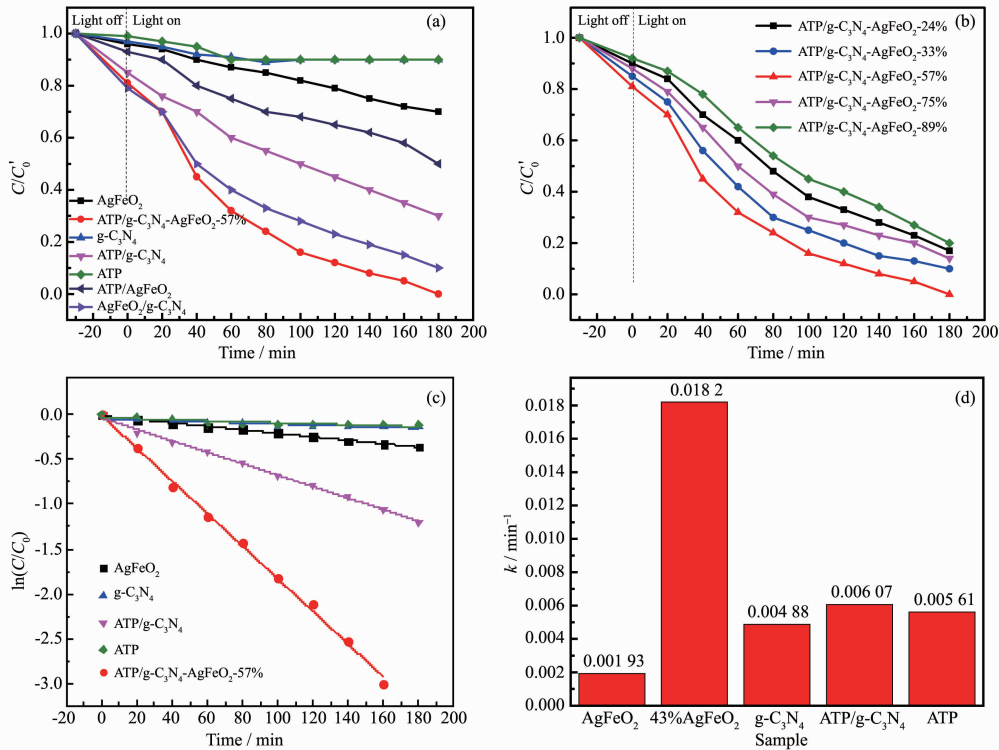


图 6 (a, b) 不同催化剂对 ARG 的可见光催化降解曲线图; (c) 不同催化剂对 ARG 的可见光催化降解的一级动力学拟合曲线和(d) 反应速率常数

Fig.6 (a, b) Photocatalytic activities of different photocatalysts for ARG degradation under visible-light irradiation; (c) Plot of  $\ln(C/C_0)$  against reaction time and (d) apparent rate constants  $k$  of different photocatalysts for ARG degradation under visible-light irradiation

表2 各样品降解180 min后对20 mg·L<sup>-1</sup> ARG的可见光降解率 $\omega$ Table 2 Visible light degradation rate  $\omega$  of each sample at 180 min for 20 mg·L<sup>-1</sup> ARG

Sample	ATP/g-C <sub>3</sub> N <sub>4</sub> AgFeO <sub>2</sub> -24%	ATP/g-C <sub>3</sub> N <sub>4</sub> AgFeO <sub>2</sub> -33%	ATP/g-C <sub>3</sub> N <sub>4</sub> AgFeO <sub>2</sub> -57%	ATP/g-C <sub>3</sub> N <sub>4</sub> AgFeO <sub>2</sub> -75%	ATP/g-C <sub>3</sub> N <sub>4</sub> AgFeO <sub>2</sub> -89%
$\omega / \%$	86.8	89.9	97.4	89.0	81.1

三组分之后,其吸附性能均有改善,特别是ATP/g-C<sub>3</sub>N<sub>4</sub>-AgFeO<sub>2</sub>的吸附性能有较大提高,这对于后续光催化性能的改善有重要意义。可见光照射180 min后发现,ATP/g-C<sub>3</sub>N<sub>4</sub>对ARG几乎没有降解能力;与凹土复合后,ATP/AgFeO<sub>2</sub>、ATP/g-C<sub>3</sub>N<sub>4</sub>的光催化性能均有所提高,对ARG分子的降解率分别为56.0%、71.7%,这是由于比表面提高使反应活性位点增多引起的。由图6(c)表明降解反应属于一级动力学行为。由图6(d)可知,与ATP/g-C<sub>3</sub>N<sub>4</sub>相比,ATP/g-C<sub>3</sub>N<sub>4</sub>-AgFeO<sub>2</sub>-57%对ARG的光催化降解速率提升了3倍,且其降解性能远远大于单体g-C<sub>3</sub>N<sub>4</sub>。

为探索复合材料在实际生产中的应用,对性能最优的ATP/g-C<sub>3</sub>N<sub>4</sub>-AgFeO<sub>2</sub>-57%光催化剂进行了循

环利用。其结果图7(a)所示,循环使用4次以后,对ARG的降解率仍保持94.2%,反应速率常数略有降低,仍保持在0.017 19 min<sup>-1</sup>(图7(b)),进一步说明ATP/g-C<sub>3</sub>N<sub>4</sub>-AgFeO<sub>2</sub>-57%复合材料的催化性能稳定,具有较好的循环使用价值。图7(c)是AgFeO<sub>2</sub>及ATP/g-C<sub>3</sub>N<sub>4</sub>-AgFeO<sub>2</sub>-57%的磁化曲线图表明两者的饱和磁化强度分别为25.65和4.89 emu·g<sup>-1</sup>。由于ATP/g-C<sub>3</sub>N<sub>4</sub>-AgFeO<sub>2</sub>-57%复合光催化剂中AgFeO<sub>2</sub>质量分数大约只有43%,所以饱和磁化强度较纯相有所降低。但是从插图中可以看出,ATP/g-C<sub>3</sub>N<sub>4</sub>-AgFeO<sub>2</sub>-57%的磁性足以使其通过强磁铁方便地从溶液中收集回收。

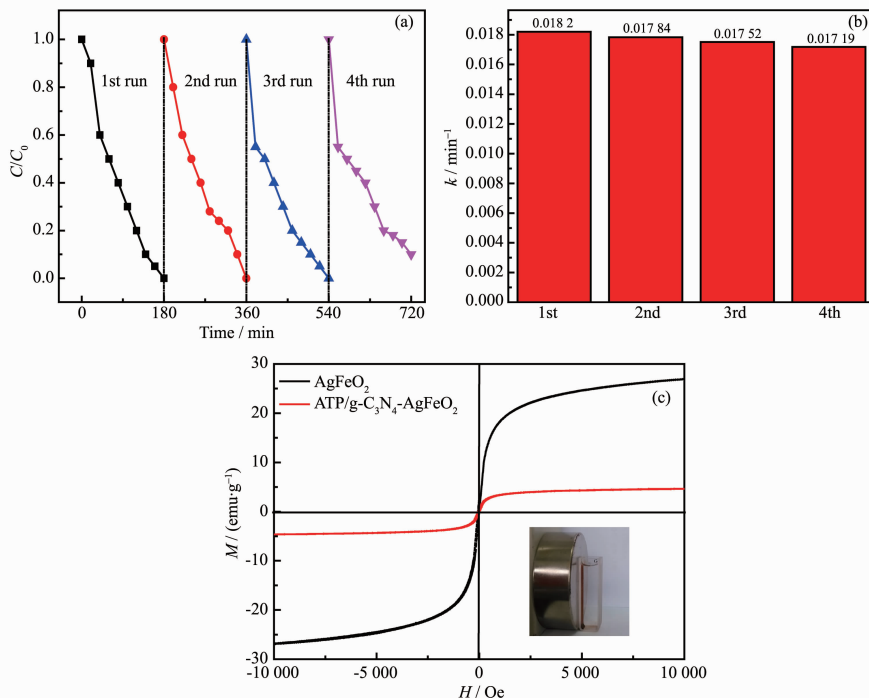


图7 (a) ATP/g-C<sub>3</sub>N<sub>4</sub>-AgFeO<sub>2</sub>-57%循环光降解ARG效率图;(b) 反应速率常数和(c) AgFeO<sub>2</sub>及ATP/g-C<sub>3</sub>N<sub>4</sub>-AgFeO<sub>2</sub>-57%磁回归曲线

Fig.7 (a) Cycling runs of ATP/g-C<sub>3</sub>N<sub>4</sub>-AgFeO<sub>2</sub>-57% for the photodegradation of ARG; (b) Reaction rate constants of ATP/g-C<sub>3</sub>N<sub>4</sub>-AgFeO<sub>2</sub>-57% after 4 cycles and (c) magnetic regression curves of AgFeO<sub>2</sub> and ATP/g-C<sub>3</sub>N<sub>4</sub>-AgFeO<sub>2</sub>-57%

### 2.3 光催化机理的探讨

采用苯醌、异丙醇和Na<sub>2</sub>C<sub>2</sub>O<sub>4</sub>作为超氧自由基( $\cdot\text{O}_2^-$ )、羟基自由基( $\cdot\text{OH}$ )和空穴( $\text{h}^+$ )的捕获剂<sup>[24,27]</sup>来

探索ATP/g-C<sub>3</sub>N<sub>4</sub>-AgFeO<sub>2</sub>复合材料降解ARG的反应机理(图8),加入异丙醇后,ATP/g-C<sub>3</sub>N<sub>4</sub>-AgFeO<sub>2</sub>-57%的光催化性能没有明显变化,加入Na<sub>2</sub>C<sub>2</sub>O<sub>4</sub>后

ATP/g-C<sub>3</sub>N<sub>4</sub>-AgFeO<sub>2</sub>-57%的光催化性能有些许减弱,加入苯醌后 ATP/g-C<sub>3</sub>N<sub>4</sub>-AgFeO<sub>2</sub>-57%的光催化性能明显下降,这表明·O<sub>2</sub><sup>-</sup>在光催化反应过程中起主要作用。

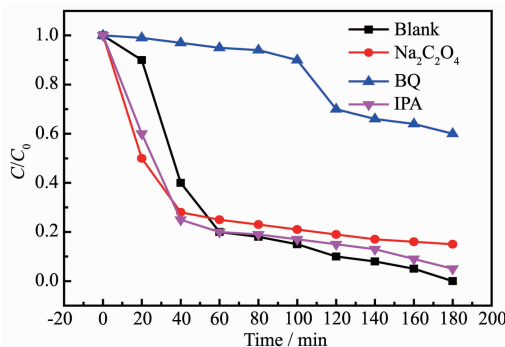


图 8 捕获剂对 ATP/g-C<sub>3</sub>N<sub>4</sub>-AgFeO<sub>2</sub>-57% 光催化降解 ARG 过程的影响

Fig.8 Plots of photogenerated carriers trapping in the system of photodegradation of ARG by ATP/g-C<sub>3</sub>N<sub>4</sub>-AgFeO<sub>2</sub>-57%

图 9 为不同材料的 PL 光谱。g-C<sub>3</sub>N<sub>4</sub> 的荧光强度最强,ATP/g-C<sub>3</sub>N<sub>4</sub> 次之,g-C<sub>3</sub>N<sub>4</sub>/AgFeO<sub>2</sub> 和 ATP/g-C<sub>3</sub>N<sub>4</sub>-AgFeO<sub>2</sub>-57% 的荧光强度较弱。这是由于 AgFeO<sub>2</sub> 纳米颗粒受光激发后产生的电子快速转移到 g-C<sub>3</sub>N<sub>4</sub> 上,AgFeO<sub>2</sub> 纳米颗粒的沉积导致复合材料荧光性的猝灭,意味着 AgFeO<sub>2</sub>/g-C<sub>3</sub>N<sub>4</sub> 具有较低的电子-空穴复合几率,而 ATP/g-C<sub>3</sub>N<sub>4</sub>-AgFeO<sub>2</sub>-57% 的荧光强度比 AgFeO<sub>2</sub>/g-C<sub>3</sub>N<sub>4</sub> 更弱,其原因在于 ATP 作为载体增大了光催化剂的活性位点,使得 AgFeO<sub>2</sub>/g-C<sub>3</sub>N<sub>4</sub> 电子-空穴复合几率更低、光催化活性更高。

基于上述分析,图 10 提出了 ATP/g-C<sub>3</sub>N<sub>4</sub>-

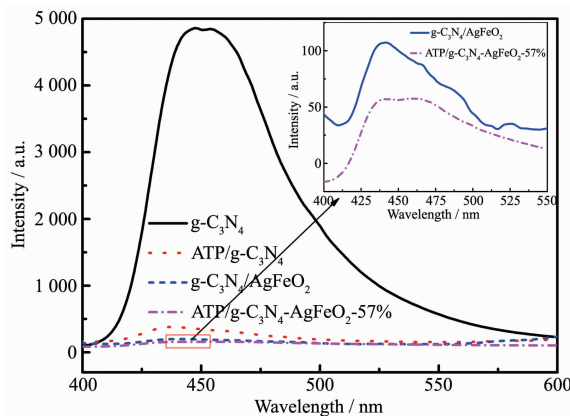


图 9 g-C<sub>3</sub>N<sub>4</sub>, ATP/g-C<sub>3</sub>N<sub>4</sub>, g-C<sub>3</sub>N<sub>4</sub>/AgFeO<sub>2</sub> 和 ATP/g-C<sub>3</sub>N<sub>4</sub>-AgFeO<sub>2</sub>-57% 的荧光光谱

Fig.9 PL spectra of g-C<sub>3</sub>N<sub>4</sub>, ATP/g-C<sub>3</sub>N<sub>4</sub>, g-C<sub>3</sub>N<sub>4</sub>/AgFeO<sub>2</sub> and ATP/g-C<sub>3</sub>N<sub>4</sub>-AgFeO<sub>2</sub>-57%

AgFeO<sub>2</sub> 光催化剂性能显著提高的可能机理。由于 AgFeO<sub>2</sub> 和 g-C<sub>3</sub>N<sub>4</sub> 可见光催化剂的窄的带隙使得其都能吸收可见光以产生光生电子和空穴。根据传统的电子转移路线,g-C<sub>3</sub>N<sub>4</sub> 导带(CB)的电势比 AgFeO<sub>2</sub> 更负,其光生电子可以自由移动到 AgFeO<sub>2</sub> 的表面,而 h<sup>+</sup> 有从 AgFeO<sub>2</sub> 转移到 g-C<sub>3</sub>N<sub>4</sub> 表面的趋势。所以,电子容易聚集在 AgFeO<sub>2</sub> 表面,h<sup>+</sup> 容易聚集在 g-C<sub>3</sub>N<sub>4</sub> 的表面,但是 AgFeO<sub>2</sub> 中富集的电子还原能力却不足以将 O<sub>2</sub> 还原成·O<sub>2</sub><sup>-</sup>,这与实验值不符。所以,AgFeO<sub>2</sub> 和 g-C<sub>3</sub>N<sub>4</sub> 并未形成传统的Ⅱ型异质结,而是形成了 Z 型异质结。g-C<sub>3</sub>N<sub>4</sub> 导带上的光生电子有足够的还原能力将空气中的 O<sub>2</sub> 还原成·O<sub>2</sub><sup>-</sup>,可以直接加入有机化合物的降解<sup>[18]</sup>。同时,AgFeO<sub>2</sub> 的导带中的光生电子可以直接转移到 g-C<sub>3</sub>N<sub>4</sub> 的价带(VB)上,由此产生的 AgFeO<sub>2</sub> 价带上的 h<sup>+</sup> 也参与了降解过程。因此,在 AgFeO<sub>2</sub> 和 g-C<sub>3</sub>N<sub>4</sub> 之间形成的 Z 型异质结大大提高了电子和空穴的分离效率。

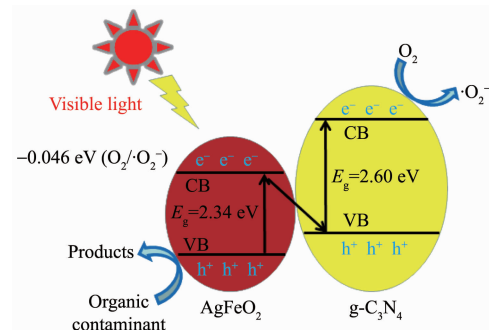


图 10 ATP/g-C<sub>3</sub>N<sub>4</sub>-AgFeO<sub>2</sub>-57% 光催化增强示意图<sup>[18]</sup>

Fig.10 Photocatalytic enhancement of ATP/g-C<sub>3</sub>N<sub>4</sub>-AgFeO<sub>2</sub>-57%<sup>[18]</sup>

与凹土复合之后,ATP/g-C<sub>3</sub>N<sub>4</sub>-AgFeO<sub>2</sub>-Y 复合催化剂的光催化性能较 ATP/g-C<sub>3</sub>N<sub>4</sub> 和 ATP/AgFeO<sub>2</sub> 明显提高,而且随着 Y 的增大呈先升高而后下降的趋势(图 6(b)),其中 ATP/g-C<sub>3</sub>N<sub>4</sub>-AgFeO<sub>2</sub>-57% 对 ARG 分子的降解性能最好,达到了 97.4%。其原因为:首先 g-C<sub>3</sub>N<sub>4</sub> 薄层负载于凹土表面,其比表面和活性位点大幅提高;引入 AgFeO<sub>2</sub> 纳米粒子之后,由于 g-C<sub>3</sub>N<sub>4</sub> 与 AgFeO<sub>2</sub> 之间形成 Z 型异质结,其可见光吸收能力进一步增强,同时有效抑制电子、空穴的复合,使得复合材料的性能达到最优。对于不同 Y 时催化性能不同,这可能与 g-C<sub>3</sub>N<sub>4</sub> 和 AgFeO<sub>2</sub> 之间形成 Z 型异质结所需的相对量有关<sup>[18]</sup>。g-C<sub>3</sub>N<sub>4</sub> 薄层负载于凹土表面之后,其比表面大幅提高,表面活性基团增多,受光激发产生的光生电子、空穴增多;此时如果

AgFeO<sub>2</sub>含量过少,受光产生的电子过少,不足以被g-C<sub>3</sub>N<sub>4</sub>价带上的空穴捕获,不能完全形成Z型异质结,致使g-C<sub>3</sub>N<sub>4</sub>表面的部分电子、空穴有机会复合,不利于其光催化性能的发挥;当Y=57%时,AgFeO<sub>2</sub>受光产生的电子恰好可以完全被g-C<sub>3</sub>N<sub>4</sub>价带上的空穴捕获,完全形成Z型异质结,其光催化性能达到最佳;当AgFeO<sub>2</sub>含量过多时,过量的AgFeO<sub>2</sub>覆盖在g-C<sub>3</sub>N<sub>4</sub>表面,使其电子空穴复合机会增多,导致其光催化性能逐渐下降。凹土作为g-C<sub>3</sub>N<sub>4</sub>薄层材料的载体,抑制了g-C<sub>3</sub>N<sub>4</sub>的堆积和团聚,提高了g-C<sub>3</sub>N<sub>4</sub>的比表面积;AgFeO<sub>2</sub>的沉积使得其产生的光生电子直接转移到g-C<sub>3</sub>N<sub>4</sub>上,从而促进了光生电子和空穴有效分离,提高了量子效率。

### 3 结 论

通过原位反应,将g-C<sub>3</sub>N<sub>4</sub>薄层材料通过Si-O-C键的键合作用有效负载于凹土表面,并以其为基体,通过原位沉淀法将AgFeO<sub>2</sub>纳米颗粒均匀沉积在ATP/g-C<sub>3</sub>N<sub>4</sub>薄层上,获得新型ATP/g-C<sub>3</sub>N<sub>4</sub>-AgFeO<sub>2</sub>复合材料,并研究其对酸性红G的光降解性能。结果表明,与g-C<sub>3</sub>N<sub>4</sub>、ATP、ATP/g-C<sub>3</sub>N<sub>4</sub>和AgFeO<sub>2</sub>相比,由于AgFeO<sub>2</sub>和ATP/g-C<sub>3</sub>N<sub>4</sub>之间形成了Z型异质结,使得ATP/g-C<sub>3</sub>N<sub>4</sub>-AgFeO<sub>2</sub>复合材料具有更宽的可见光响应范围和更优异的光催化性能;随着ATP/g-C<sub>3</sub>N<sub>4</sub>含量的增多,其光催化活性先增高后又降低,ATP/g-C<sub>3</sub>N<sub>4</sub>-AgFeO<sub>2</sub>-57%性能最佳,在可见光光照180 min后,对20 mg·L<sup>-1</sup> ARG的降解率达97.4%,并且该催化剂在循环降解4次后依然保持了较好的光催化性能。通过自由基捕获实验,提出了ATP/g-C<sub>3</sub>N<sub>4</sub>-AgFeO<sub>2</sub>复合材料的一种可能的光催化作用机理。ATP/g-C<sub>3</sub>N<sub>4</sub>-AgFeO<sub>2</sub>是一种催化活性强且非常有实际应用价值的光催化材料,在有机废水处理领域具有较好的应用前景。

### 参考文献:

- [1] YAN Shi-Cheng(闫世成), ZOU Zhi-Gang(邹志刚). *Materials China(中国材料进展)*, **2015**,*34*(9):652-658
- [2] ZHU Yong-Fa(朱永法), YAO Wen-Qing(姚文清), ZONG Rui-Long(宗瑞隆), et al. *Photocatalysis-Environmental Purification and Application of Green Energy: Vol.2(光催化-环境净化与绿色能源应用探索:中册)*. Beijing: Chemical Industry Press, **2014**.
- [3] Ong W J, Tan L L, Ng Y H, et al. *Chem. Rev.*, **2016**,*116*: 7159-7329
- [4] Wang X, Liang Y H, An W J, et al. *Appl. Catal. B*, **2017**, *219*:53-62
- [5] Wang H, Liang Y H, Liu L, et al. *J. Hazard. Mater.*, **2018**, *344*:369-380
- [6] Liang S J, Xia Y Z, Zhu S Y. *Appl. Surf. Sci.*, **2015**,*358*:304-312
- [7] Ge L, Han C C, Liu J, et al. *Appl. Catal. A*, **2011**,*409*:215-222
- [8] Zhang M, Bai X J, Liu D, et al. *Appl. Catal. B*, **2015**,*164*:77-81
- [9] Zhang L G, Chen X F, Guan J, et al. *Mater. Res. Bull.*, **2013**,*48*:3485-3491
- [10] LI Na(李娜), WANG Ming(王茗), ZHAO Bei-Ping(赵北平), et al. *Chinese J. Inorg. Chem.(无机化学学报)*, **2016**,*32*(6):1033-1040
- [11] Zhao W, Guo Y, Wang S M, et al. *Appl. Catal. B*, **2015**, *165*:335-343
- [12] Ding J, Liu Q Q, Zhang Z Y, et al. *Appl. Catal. B*, **2015**, *165*:511-518
- [13] Wang G Y, Zhang Y Z, You C Y, et al. *Infrared Phys. Tech.*, **2017**,*88*:149-173
- [14] Chung J H, Matsuda M, Lee S H, et al. *Phys. Rev. Lett.*, **2005**,*95*(24):247204
- [15] XIONG Zhao-Xian(熊兆贤). *Introduction to Material Physics: Vol.1(材料物理导论:第1册)*. Beijing: Science Press, **2012**.
- [16] Fang Y X, Ma Y W, Wang X C. *Chin. J. Catal.*, **2018**,*39*(3):438-445
- [17] Hao X Q, Zhou J, Cui Z W, et al. *Appl. Catal. B*, **2018**,*229*:41-51
- [18] Tang D D, Zhang G G. *Appl. Surf. Sci.*, **2017**,*391*:415-422
- [19] Meng Yue(孟跃), Xia Sheng-Jie(夏盛杰), Xue Ji-Long(薛继龙), et al. *Chinese J. Inorg. Chem.(无机化学学报)*, **2018**, *34*(9):1632-1640
- [20] Xia S J, Zhou X B, Shi W. *J. Mol. Catal. A: Chem.*, **2014**, *392*:270-277
- [21] LIU Li-Yan(刘丽艳), SUN Zhi-Rou(孙至柔), YE Wen-Bo(叶文博), et al. *Chem. Ind. Eng. Prog.(化工进展)*, **2016**, *35*:3663-3668
- [22] WAN Jian-Feng(万建风), HU De-Sheng(胡德圣), LU Peng-Hui(卢朋辉), et al. *J. Inorg. Mater.(无机材料学报)*, **2016**, *31*:845-849
- [23] Xu Y S, Zhang L L, Xie D Y, et al. *Appl. Surf. Sci.*, **2018**,*440*:170-176
- [24] Liu C Y, Huang H G, Du X, et al. *J. Phys. Chem. C*, **2015**, *119*(30):17156-17165
- [25] Li Z J, Wang J H, Zhu K X, et al. *Mater. Lett.*, **2015**, *145*(4):167-170
- [26] Yang J, Li D, Wang X. *J. Solid State Chem.*, **2002**,*165*(1):193-198
- [27] Jin J, Liang Q, Ding C Y, et al. *J. Alloys Compd.*, **2017**,*691*(1):763-771